

ционных зародышей методами оптической и электронной микроскопии. Представленные в [7] данные наглядно иллюстрируют процесс растворения меньшего и рост большего из двух, оказавшихся на близком расстоянии пузырьков.

#### ЛИТЕРАТУРА

1. Флинин Г. Физика акустической кавитации в жидкостях // Физическая акустика/Под ред. У. Мэзона: Пер. с англ./Под ред. Л. Д. Розенберга.— М.: Мир, 1967.— Т. 1, ч. Б.
2. Hsieh D. Y., Plesset M. Theory of rectified diffusion of mass into gas bubbles // JASA.— 1961.— V. 33, N 2.
3. Crum L. A., Hansen G. M. Generalized equations for rectified diffusion // JASA.— 1982.— V. 72, N 5.
4. Лишинц И. М., Слезов В. В. О кинетике диффузионного распада пересыщенных твердых растворов // ЖЭТФ.— 1958.— Т. 35, вып. 2.
5. Лишинц Е. М., Питаевский Л. Д. Физическая кинетика.— М.: Наука, 1979.
6. Crum L. A. Nucleation and stabilization of microbubbles in liquids // Appl. Scient. Res.— 1982.— V. 38.— P. 101.
7. Yount D. E., Gillary E. W., Hoffman D. C. A microscopic investigation of bubble formation nuclei // JASA.— 1984.— V. 76, N 5.

Поступила 24/I 1986 г.

УДК 532.529

#### ОСАЖДЕНИЕ ОБЛАКА ГАЗОВЗВЕСИ НА ГОРИЗОНТАЛЬНУЮ ПОВЕРХНОСТЬ

Г. М. Махвиладзе, О. И. Мелихов

(Москва)

В [1, 2] в плоской постановке проведено численное моделирование процесса гравитационного осаждения облака газовзвеси монодисперсных частиц на плоскую горизонтальную поверхность. Детально изучались как движение облака вдали от поверхности (в безграничной среде), так и сам процесс осаждения частиц на поверхность. В [3] численно исследовано падение сферического облака монодисперсных частиц в безграничной несжимаемой жидкости (осесимметричная постановка). Из [1—3] видно, что, несмотря на различную геометрию, качественная картина движения облака в безграничной среде одинакова. Цилиндрическое распадается на две симметричные части, а сферическое трансформируется в кольцо. В обоих случаях в пространстве развивается вихревое движение несущей среды.

Ниже на основе уравнений механики многофазных сред [4] численно изучается осаждение облака газовзвеси монодисперсных частиц на горизонтальную поверхность как в плоской, так и в осесимметричной постановке. Проводится детальное сравнение этих случаев.

1. Пусть в начальный момент в газе с температурой  $T_0$ , находящемся в статическом равновесии в поле силы тяжести, на высоте  $H_0$  над плоской горизонтальной поверхностью задано неподвижное облако твердых монодисперсных сферических частиц. Рассматривается цилиндрическое облако с осью, параллельной горизонтальной поверхности (плоская постановка, параметр симметрии  $v = 0$ ), или сферическое облако (осесимметрическая задача,  $v = 1$ ). Соответственно используются плоские или осесимметрические уравнения движения. Пусть  $r$  — радиальная ось цилиндрической системы координат или горизонтальная декартова ось,  $z$  — вертикальная ось, направленная против силы тяжести ( $z = 0$  отвечает плоскости осаждения). Тогда начальные условия записываются следующим образом:

$$(1.1) \quad t = 0: \mathbf{U}_1 = \mathbf{U}_2 = 0, \rho_1 = \rho_{10} \exp(-gz/R_0 T_0), \\ n = n_0 \exp[-(r^2 + (z - H_0)^2)/R^2], \\ \rho_2 = \rho_2^n \pi d^3/6, \quad p = R_0 \rho_1 T_0.$$

Здесь индексы 1 и 2 относятся соответственно к газу и частицам;  $t$  — время;  $\mathbf{U}_i(u_i, v_i)$ ,  $\rho_i(i = 1, 2)$  — средние скорости и плотности фаз;  $n$  —

концентрация частиц;  $g$  — ускорение силы тяжести;  $R_0$  — газовая постоянная;  $\rho_2^0$  и  $d$  — истинная плотность и диаметр частиц;  $\rho_{10}$  — плотность газа в начальный момент у поверхности осаждения;  $H_0$  и  $R$  — начальные высота и радиус облака;  $p$  — давление газа, который полагается совершенным;  $n_0$  — максимальная концентрация частиц при  $t = 0$ .

Рассматриваются газовзвеси с малой объемной долей частиц ( $\leq 10^{-3}$ ), что позволяет пренебречь столкновениями между ними и их объемом. Процессы дробления и испарения частиц несущественны и, естественно, не учитываются. Нагрев среды вследствие вязкой диссиации энергии мал, поэтому процесс оседания можно считать изотермическим, так что температуры газа и частиц все время равны начальной температуре  $T_0$ .

Плоские или осесимметричные движения газовзвеси описываются уравнениями, записанными в безразмерных переменных:

$$(1.2) \quad \frac{d_1 \rho_1}{dt} = -\rho_1 \left( \frac{\partial u_1}{\partial r} + \frac{\partial v_1}{\partial z} \right) - \frac{v \rho_1 u_1}{r}, \quad p = \rho_1,$$

$$\rho_1 \frac{d_1 u_1}{dt} = -Eu \frac{\partial p}{\partial r} + \frac{1}{Re} \left[ \frac{4}{3} \frac{\partial^2 u_1}{\partial r^2} + \frac{\partial^2 u_1}{\partial z^2} + \frac{1}{3} \frac{\partial^2 v_1}{\partial r \partial z} + \frac{4}{3} v \left( \frac{1}{r} \frac{\partial u_1}{\partial r} - \frac{u_1}{r^2} \right) \right] - f_r,$$

$$\rho_1 \frac{d_1 v_1}{dt} = -Eu \frac{\partial p}{\partial z} - \tilde{p}_1 + \frac{1}{Re} \left[ \frac{\partial^2 v_1}{\partial r^2} + \frac{4}{3} \frac{\partial^2 v_1}{\partial z^2} + \frac{1}{3} \frac{\partial^2 u_1}{\partial r \partial z} + v \left( \frac{\partial v_1}{\partial r} + \frac{1}{3} \frac{\partial u_1}{\partial z} \right) \right] - f_z;$$

$$(1.3) \quad \frac{d_2 \rho_2}{dt} = -\rho_2 \left( \frac{\partial u_2}{\partial r} + \frac{\partial v_2}{\partial z} \right) - \frac{v \rho_2 u_2}{r}, \quad \rho_2 \frac{d_2 u_2}{dt} = f_r, \quad \rho_2 \frac{d_2 v_2}{dt} = -\rho_2 + f_z;$$

$$(1.4) \quad \frac{d_i}{dt} = \frac{\partial}{\partial t} + u_i \frac{\partial}{\partial r} + v_i \frac{\partial}{\partial z}, \quad Eu = R_0 T_0 / R g, \quad Re = R \sqrt{R g} \rho_{10} / \eta,$$

где при обезразмеривании использованы характерные масштабы длины, времени, скорости, плотности, давления, концентрации —  $R$ ,  $\sqrt{R/g}$ ,  $\sqrt{Rg}$ ,  $\rho_{10}$ ,  $R_0 \rho_{10} T_0$ ,  $n_0$ ;  $Eu$ ,  $Re$  — числа Эйлера и Рейнольдса;  $\eta$  — коэффициент динамической вязкости. Обменный член  $f(f_r, f_z)$ , описывающий силовое взаимодействие фаз, имеет вид

$$(1.5) \quad f = \rho_1 \rho_2 (1 + 0,158 Re_p^{2/3}) (\mathbf{U}_1 - \mathbf{U}_2) / \tau_r,$$

$$Re_p = Re_p^0 \rho_1 |\mathbf{U}_1 - \mathbf{U}_2|, \quad Re_p^0 = d \sqrt{Rg} \rho_{10} / \eta, \quad \tau_r = \rho_2^0 d^2 / 18 \eta \sqrt{Rg}.$$

Здесь  $Re_p$  — мгновенное число Рейнольдса частицы;  $Re_p^0$  — число Рейнольдса частицы, построенное по характерной скорости конвекции;  $\tau_r$  — безразмерное время скоростной релаксации частицы, вычисленное в стоксовом приближении. В формуле (1.5) использована эмпирическая зависимость коэффициента сопротивления частицы от ее числа Рейнольдса, хорошо аппроксимирующая экспериментальную кривую в диапазоне  $0 \leq Re_p \leq 700$ . В данной работе значения мгновенного числа Рейнольдса частицы имеют порядок  $10^2$ , что выходит из области применимости закона Стокса. Поэтому время релаксации в несколько раз меньше величины  $\tau_r$ .

Границные условия учитывают симметрию задачи относительно плоскости (или оси)  $r = 0$ , статическое равновесие газа на бесконечности и «прилипание» газа на поверхности осаждения:

$$(1.6) \quad r = 0: u_1 = u_2 = 0, \frac{\partial v_1}{\partial r} = 0, \frac{\partial \rho_1}{\partial r} = 0;$$

$$r^2 + z^2 \rightarrow \infty: \mathbf{U}_1 = 0, \frac{\partial p}{\partial z} = -\rho_1 / Eu; z = 0: \mathbf{U}_1 = 0.$$

Столкновения частиц с поверхностью предполагаются абсолютно неупругими — все достигающие поверхность частицы остаются на ней.

Начальные условия (1.1) запишем в безразмерной форме

$$(1.7) \quad t = 0: \mathbf{U}_1 = \mathbf{U}_2 = 0, \rho_1 = \exp(-z/Eu), p = \rho_1,$$

$$n = \exp[-(r^2 + (z - H)^2)], \rho_2 = M_{21} n,$$

$$H = H_0 / R, \quad M_{21} = \pi d^3 \rho_2^0 n_0 / 6 \rho_{10},$$

где  $H$  — безразмерная начальная высота облака;  $M_{21}$  — отношение начальной средней плотности частиц в центре облака к начальной плотности газа у поверхности осаждения. Для облака частиц радиусом 1 м, находящегося в воздухе при нормальных условиях,  $Re \sim 10^5$ , что отвечает развитой турбулентности. В работе используется слаженное описание турбулентных движений посредством введения эффективной турбулентной вязкости (см. [5], с. 292). В то же время сила сопротивления отдельной частицы рассчитывается по молекулярной вязкости, так как величина  $Re_p^0$  входит в диапазон применимости используемой эмпирической зависимости коэффициента сопротивления (например, для частицы с  $d = 100$  мкм и указанных выше условий  $Re_p^0 \sim 10$ ). Таким образом,  $Re$  и  $Re_p^0$  оказываются независимыми параметрами.

В расчетах использовались постоянные значения  $Eu = 10^3$ ,  $Re = 30$ ,  $Re_p^0 = 400$ . Остальные параметры менялись в следующих пределах:  $M_{21} = 0,01\text{--}3$ ,  $\tau_r = 0,5\text{--}2$ ,  $H = 2\text{--}12$ .

Задача (1.2)–(1.7) решалась численно конечно-разностным методом с использованием схемы [6] для уравнений движения газа и продольно-поперечной схемы [7] для уравнений движения частиц. Расчеты проводились на неравномерной сетке  $20 \times 40$  со сгущением узлов у координат осей. Число Куранта, построенное по скорости звука и минимальному шагу сетки, равнялось 4. Время расчета варианта составляло 2–3 ч на ЭВМ ЕС-1055. Подробное изложение численной методики содержится в [1, 8].

2. Рассмотрим сначала оседание облака вплоть до момента, когда на этот процесс начинает влиять поверхность осаждения (движение в безграничной среде). Если массовая доля частиц достаточно велика, то они взаимодействуют гидродинамически через несущую среду. Газ увлекается падающими частицами, и возникает крупномасштабное вихревое движение. В результате скорость падения облака газовзвеси превышает скорость падения изолированной (одиночной) частицы в этой же среде (осаждение облака в режиме увлечения). Поскольку степень вовлечения газа в движение определяется параметрами, не зависящими от геометрии задачи, то область реализации режима увлечения одна и та же как для плоского, так и для осесимметричного случая. Ее вид, определенный при

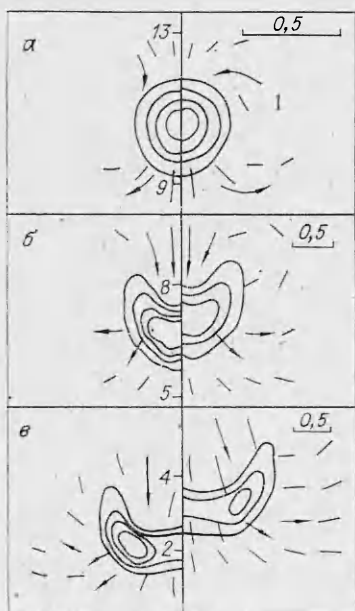


Рис. 1

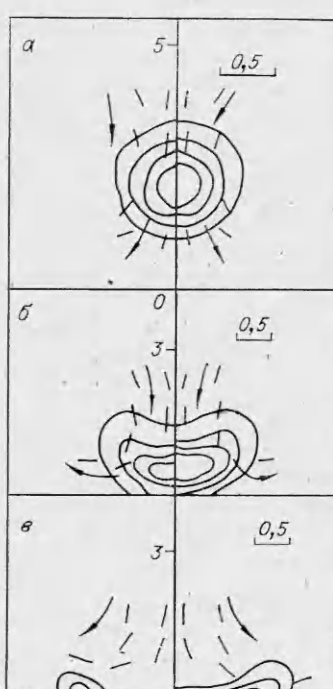


Рис. 2

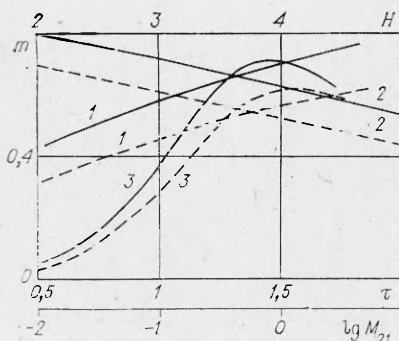


Рис. 3

$= 1,86; 13,96; 7,45$  ( $a - e$ ) линии равной концентрации частиц в облаке и векторы скоростей газа для типичного варианта ( $M_{21} = 0,5$ ,  $\tau_r = 1$ ). Здесь, а также на рис. 2 слева приведены поля для осевой симметрии, справа — для плоской, значения концентрации на соседних изолиниях отличаются на 0,2, на внешней изолинии  $n = 0,2$ , масштабы скорости даны на рисунках.

Видно, что качественная картина эволюции одинакова: под влиянием падения частиц в пространстве развивается вихревое течение, которое сначала трансформирует облако в «чашу» (рис. 1, б), а потом вытягивает его по горизонтали, в результате области максимальной концентрации частиц перемещаются от оси (плоскости) симметрии в поперечном направлении (рис. 1, в). Происходит распад исходного цилиндрического облака на две симметричные части (плоская симметрия) или «свертывание» сферического облака в кольцо (осевая симметрия). Отличительные особенности осесимметричного случая — большая скорость падения облака и более резкие градиенты концентрации частиц в облаке во время его оседания.

3. Переходим к рассмотрению осаждения облака частиц на горизонтальную поверхность. Типичный пример этого процесса для осевой и плоской симметрии показан на рис. 2, где изображены поля скорости газа и изолинии концентрации частиц осаждающегося облака ( $M_{21} = 0,3$ ,  $\tau_r = 1$ ,  $H = 3,26$ ) в моменты времени  $t = 3,41; 6,82; 10,22$  ( $a - e$ ). Видно, что осаждение для обоих случаев происходит одинаково. Формирующееся при падении облака вихревое течение несущей среды ( $a$ ) увлекает частицы в поперечных направлениях ( $b, v$ ), что приводит к рассеянию частиц вдоль поверхности осаждения. Вследствие этого иногда конечные распределения поверхностной концентрации осевших частиц имеют локальный минимум при  $r = 0$ , а значительная доля частиц выпадает вне области первоначальной проекции облака на подстилающую поверхность. Для количественной характеристики последнего эффекта в [1, 2] введен коэффициент рассеяния облака частиц, равный доле частиц, выпавших вне области первоначальной проекции облака.

Зависимости коэффициента рассеяния от параметров задачи для плоского (штриховые линии) и осесимметричного (сплошные) случаев приведены на рис. 3.

С увеличением высоты облака возрастает рассеяние частиц на подстилающей поверхности как в плоском, так и в осесимметричном случае (кривые 1,  $M_{21} = 1$ ,  $\tau_r = 1$ ). Чем выше в начальный момент находится облако, тем больший объем газа вовлекается в возникающее вихревое течение. Благодаря этому интенсифицируется поперечный перенос частиц, что увеличивает их рассеяние.

Увеличение времени скоростной релаксации частицы  $\tau_r$  приводит к снижению коэффициента рассеяния облака частиц на поверхности независимо от вида симметрии задачи (кривые 2,  $M_{21} = 1$ ,  $H = 3,26$ ). Это объясняется тем, что параметр  $\tau_r$  характеризует «сцепление» фаз; чем меньше его величина, тем быстрее частицы увлекаются несущей средой.

решении плоской задачи, приведен в [1, 2]. Ниже рассматривается только режим увлечения, так как изучение движения облака при малом гидродинамическом взаимодействии частиц (режим фильтрации) сводится к установлению закона падения одиночной частицы — детально исследованной задаче [9].

Особенности эволюции падающего облака газовзвеси для плоского и осесимметричного случаев показаны на рис. 1, на котором представлены в последовательные моменты времени  $t =$

$= 1,86; 13,96; 7,45$  ( $a - e$ ) линии равной концентрации частиц в облаке и векторы скоростей газа для типичного варианта ( $M_{21} = 0,5$ ,  $\tau_r = 1$ ). Здесь, а также на рис. 2 слева приведены поля для осевой симметрии, справа — для плоской, значения концентрации на соседних изолиниях отличаются на 0,2, на внешней изолинии  $n = 0,2$ , масштабы скорости даны на рисунках.

Видно, что качественная картина эволюции одинакова: под влиянием падения частиц в пространстве развивается вихревое течение, которое сначала трансформирует облако в «чашу» (рис. 1, б), а потом вытягивает его по горизонтали, в результате области максимальной концентрации частиц перемещаются от оси (плоскости) симметрии в поперечном направлении (рис. 1, в). Происходит распад исходного цилиндрического облака на две симметричные части (плоская симметрия) или «свертывание» сферического облака в кольцо (осевая симметрия). Отличительные особенности осесимметричного случая — большая скорость падения облака и более резкие градиенты концентрации частиц в облаке во время его оседания.

3. Переходим к рассмотрению осаждения облака частиц на горизонтальную поверхность. Типичный пример этого процесса для осевой и плоской симметрии показан на рис. 2, где изображены поля скорости газа и изолинии концентрации частиц осаждающегося облака ( $M_{21} = 0,3$ ,  $\tau_r = 1$ ,  $H = 3,26$ ) в моменты времени  $t = 3,41; 6,82; 10,22$  ( $a - e$ ). Видно, что осаждение для обоих случаев происходит одинаково. Формирующееся при падении облака вихревое течение несущей среды ( $a$ ) увлекает частицы в поперечных направлениях ( $b, v$ ), что приводит к рассеянию частиц вдоль поверхности осаждения. Вследствие этого иногда конечные распределения поверхностной концентрации осевших частиц имеют локальный минимум при  $r = 0$ , а значительная доля частиц выпадает вне области первоначальной проекции облака на подстилающую поверхность. Для количественной характеристики последнего эффекта в [1, 2] введен коэффициент рассеяния облака частиц, равный доле частиц, выпавших вне области первоначальной проекции облака.

Зависимости коэффициента рассеяния от параметров задачи для плоского (штриховые линии) и осесимметричного (сплошные) случаев приведены на рис. 3.

С увеличением высоты облака возрастает рассеяние частиц на подстилающей поверхности как в плоском, так и в осесимметричном случае (кривые 1,  $M_{21} = 1$ ,  $\tau_r = 1$ ). Чем выше в начальный момент находится облако, тем больший объем газа вовлекается в возникающее вихревое течение. Благодаря этому интенсифицируется поперечный перенос частиц, что увеличивает их рассеяние.

Увеличение времени скоростной релаксации частицы  $\tau_r$  приводит к снижению коэффициента рассеяния облака частиц на поверхности независимо от вида симметрии задачи (кривые 2,  $M_{21} = 1$ ,  $H = 3,26$ ). Это объясняется тем, что параметр  $\tau_r$  характеризует «сцепление» фаз; чем меньше его величина, тем быстрее частицы увлекаются несущей средой.

Зависимость коэффициента рассеяния от параметра  $M_{21}$ , пропорционального концентрации частиц в облаке, имеет экстремальный характер, причем для осесимметричного случая экстремум выражен ярче (кривые 3,  $\tau_r = 1$ ,  $H = 3,26$ ). При небольших значениях  $M_{21}$  облако оседает в режиме, близком к режиму фильтрации, коэффициенты рассеяния облака для обеих геометрий достаточно малы и отличаются друг от друга незначительно. С увеличением концентрации частиц возрастает их гидродинамическое взаимодействие, что вызывает формирование крупномасштабного вихревого течения при падении облака. В результате повышается коэффициент рассеяния. При дальнейшем увеличении концентрации частиц ( $M_{21} \geq 1$ ) скорость падения облака становится настолько большой, что возникающее вихревое течение не успевает перенести частицы в поперечном направлении на существенные расстояния, и рассеяние частиц начинает уменьшаться.

Отметим, что при одинаковых параметрах облака рассеяние частиц в осесимметричном случае больше, чем в плоском. Для рассматриваемого диапазона параметров максимальное различие в коэффициентах рассеяния достигало 0,1. Проведенное исследование указывает также на способ приближенного пересчета имеющихся теоретических и экспериментальных данных по процессу осаждения сферического облака на процесс осаждения облака плоской геометрии, и наоборот. Для этого необходимо соблюдать равенство введенных выше критериев подобия.

Авторы благодарят А. Н. Крайко за ценные замечания.

#### ЛИТЕРАТУРА

1. Махвиладзе Г. М., Мелихов О. И. Численное исследование падения совокупности монодисперсных частиц на плоскую горизонтальную поверхность.— М., 1981.— (Препринт Ин-т проблем механики АН СССР; № 191).
2. Махвиладзе Г. М., Мелихов О. И. О движении совокупности частиц под действием силы тяжести и ее осаждении на плоскую горизонтальную поверхность // Изв. АН СССР. МЖГ.— 1982.— № 6.
3. Дорфман А. Л. Численное исследование двухфазных течений с вязкой несущей фазой // Изв. АН СССР. МЖГ.— 1981.— № 3.
4. Нигматулин Р. И. Основы механики гетерогенных сред.— М.: Наука, 1978.
5. Монин А. С., Яглом А. М. Статистическая гидромеханика. Механика турбулентности.— М.: Физматгиз, 1965.— Ч. 1.
6. Махвиладзе Г. М., Щербак С. Б. Численный метод исследования пространственных движений сжимаемого газа // ИФЖ.— 1980.— Т. 38, № 3.
7. Самарский А. А. Теория разностных схем.— М.: Наука, 1977.
8. Махвиладзе Г. М., Мелихов О. И. Крупномасштабные вихревые движения при падении и осаждении совокупности монодисперсных частиц // ЧММСС.— 1982.— Т. 13, № 4.
9. Фуке Н. А. Механика аэрозолей.— М.: Изд-во АН СССР, 1955.

Поступила 6/II 1986 г.

УДК 532.529 : 518.5

#### СТРУКТУРА СКАЧКА УПЛОТНЕНИЯ В ДВУХФАЗНЫХ СРЕДАХ

A. M. Гришин, Г. Г. Тиванов

(Томск)

Ударные волны (УВ), возникающие в сверхзвуковых двухфазных течениях, можно рассматривать как состоящие из двух зон — скачка уплотнения, который реализуется при скорости УВ, большей, чем замороженная скорость звука [1, 2], и зоны релаксации. Если структура зоны релаксации исследована достаточно подробно [1—5], то структура скачка уплотнения практически не изучена.

Общепринято, что несущая среда при переходе через скачок описывается соотношениями Гюгонио, а частицы «не замечают» скачок уплотнения. Между тем экспериментальные данные [3] показывают на достаточно сильное влияние скачка уплотнения на гетерогенные включения, если размер частиц не превышает 20—25 мкм.

При достаточно интенсивных УВ при течении двухфазной среды около твердой границы возникают скачки в области с большими градиентами, где параметры потока